



Laboratorium EMVO Sp. J. Urbański, Pawełak
ul. Jasna 1
00-013 Warszawa

tel. +48 22 780 29 64
e-mail: laboratorium@emvo.pl



**Sprawozdanie z pomiarów pól elektromagnetycznych - środowisko ogólne
nr 6/11/OS/2020-P4-W**



| | | |
|-------------------|---|--------------------------|
| Nr i nazwa stacji | BIA1026 | |
| Adres | Białystok, Mickiewicza 90, pow. Białystok, woj. podlaskie | |
| Opracowanie | Patrycja Glander | Specjalista ds. pomiarów |
| Autoryzacja | Andrzej Urbański | Kierownik Laboratorium |
| Podpis | | |
| Data | 2020-11-03 | |

Spis treści

| | |
|---|---|
| 1. Informacje ogólne..... | 3 |
| 2. Podstawa prawna. | 3 |
| 3. Opis pomiarów | 4 |
| 4. Zróżnicowanie dopuszczalne poziomy pól elektromagnetycznych..... | 5 |
| 5. Charakterystyka źródeł PEM. | 5 |
| 6. Wyniki pomiarów..... | 6 |
| 7. Stwierdzenie zgodności | 7 |
| 8. Oświadczenie..... | 8 |
| 9. Spis załączników. | 8 |

1. Informacje ogólne.

| | |
|--|--|
| Zleceniodawca | P4 sp. z o.o., ul. Taśmowa 7, 02-677 Warszawa osoba udzielająca informacji- Monika Bieroza |
| Istotne informacje dostarczone przez klienta | komplet informacji niezbędnych do wykonania pomiarów i opracowania sprawozdania |
| Dane otrzymane od klienta mogące mieć wpływ na ważność wyników | Dane anten sektorowych, dane anten radioliniowych, parametry pracy instalacji, poprawka pomiarowa, ustawienie pochylenia anten |
| Prowadzący instalację | P4 sp. z o.o., ul. Taśmowa 7, 02-677 Warszawa |
| Lokalizacja obiektu | Białystok, Mickiewicza 90, pow. Białystok, woj. podlaskie |
| Miejsce instalacji anten | Wieża rurowa |
| Miejsce instalacji urządzeń | Outdoor |
| Osoby wykonujące pomiar | Łukasz Biczuk |
| Data wykonania pomiaru | 03.11.2020 |
| Temperatura na początku pomiaru [°C] | 15,0 |
| Temperatura na koniec pomiaru [°C] | 15,0 |
| Warunki atmosferyczne | Brak opadów |
| Wilgotność na początku pomiaru [%] | 62,0 |
| Wilgotność na koniec pomiaru [%] | 61,0 |
| Inne źródła pól elektromagnetycznych oznaczone na załączniku graficznym | Nie występują |
| Parametry pracy instalacji | Rzeczywisty |

2. Podstawa prawna.

2.1 Normy i rozporządzenia:

- ☐ Rozporządzeniem Ministra Klimatu z dnia 17 lutego 2020 r. w sprawie sposobów sprawdzania dotrzymania dopuszczalnych poziomów pól elektromagnetycznych w środowisku (Dz.U. 2020 poz. 258)
- ☐ Rozporządzenie Ministra Zdrowia z dnia 17 grudnia 2019 r. w sprawie dopuszczalnych poziomów pól elektromagnetycznych w środowisku (Dz.U. 2019 poz. 2448)
- ☐ Obwieszczenie Marszałka Sejmu Rzeczypospolitej Polskiej z dnia 19 lipca 2019 r. w sprawie ogłoszenia jednolitego tekstu ustawy - Prawo ochrony środowiska (Dz.U. 2019 poz. 1396).

3. Opis pomiarów

| | |
|---|--|
| Metodologia pomiarowa | Pomiary w oparciu o Rozporządzeniem Ministra Klimatu z dnia 17 lutego 2020 r. w sprawie sposobów sprawdzania dotrzymania dopuszczalnych poziomów pól elektromagnetycznych w środowisku (Dz.U. 2020 poz. 258), |
| Cel badań | Określenie wartości natężenia pola elektrycznego w miejscach dostępnych dla ludności. |
| Opis zestawu pomiarowego | Miernik Narda NBM 520, Sonda EF 9091, o zakresie pomiarowym 0,8 V/m 300V/m pracująca w paśmie 80 MHz – 90 GHz, świadectwo wydane przez Laboratorium Wzorców i Metrologii Pola Elektromagnetycznego, Instytut Telekomunikacji, Teleinformatyki i Akustyki Politechniki Wrocławskiej, numer świadectwa: LWIMP/W/092/19, świadectwo ważne do 08.03.2021r. Miernik Narda NBM 520, Sonda EF 9091 pracująca w zakresie temperatury -10°C - +50°C oraz wilgotności 5% - 95%. Niepewność rozszerzona 59,2% przy poziomie ufności 95% z uwzględnieniem współczynnika rozszerzenia k=2. |
| Wypożyczenie pomocnicze | Termohigrometr Bestone, typ: GM1362-EN-00, nr identyfikacyjny 1222436, świadectwo wzorcowania z dn. 03.04.2017r. wydane przez Laboratorium Pomiarowe "MUTECH". Przymiar wstępowy STABILA, nr seryjny 10721, świadectwo wzorcowania z dn. 19.06.2017r. wydane przez Zespół Laboratoriów wzorcujących Okręgowego Urzędu Miar w Gdańsku. GPS Garmin 64s okresowo sprawdzany w punktach osnowy geodezyjnej klasy 3 na podstawie licencji punktu, zgodnie z procedurą sprawdzeń okresowych IS/PO-16-11/03. |
| Pomiary zostały wykonane | <ol style="list-style-type: none">1. na głównych i pomocniczych kierunkach pomiarowych, na kierunkach zbliżonych do azymutów anten oraz w dodatkowych pionach pomiarowych zgodnie z wymaganiami pkt 12, 13, 14 i 19 załącznika do rozporządzenia Ministra Klimatu z dnia 17 lutego 2020 r. (Dz. U. 2020, poz. 258),2. na obszarze pomiarowym, dla którego, na podstawie uprzednio wykonanych obliczeń uzyskanych od zlecniodawcy, stwierdzono możliwość występowania pól elektromagnetycznych o poziomach zbliżonych do poziomów dopuszczalnych zgodnie z wymaganiami pkt 5 ppkt 2 oraz pkt 13 ppkt 1 załącznika do rozporządzenia Ministra Klimatu z dnia 17 lutego 2020 r. (Dz. U. 2020, poz. 258). Wyniki obliczeń nie uwzględniały parametrów pracy instalacji innych operatorów występujących na obiekcie bądź w obszarze pomiarowym.3. w miejscach dostępnych dla ludności.4. miejsca niedostępne podczas wykonywania pomiarów wskazane zostały w pkt 6 (tabeli wyniki pomiarów)5. wyniki pomiarów uzyskane zostały przy uwzględnieniu poprawek pomiarowych przekazanych przez zlecniodawcę oraz przy rzeczywistych warunkach pracy instalacji innych operatorów (w przypadku występowania). W takiej sytuacji uwzględniono jednolitą poprawkę pomiarową wynoszącą 1,4 |
| Szczególne warunki podczas wykonywania pomiarów | Pomiary wykonane zostały podczas obowiązywania w kraju stanu epidemii, zgodnie z art. 122a ust. 1b Ustawy z dnia 27 kwietnia 2001 r. – Prawo ochrony środowiska (Dz. U. z 2019 r. poz. 1396, z późn. zm.9)) |

Warunki pracy urządzeń nadawczych

Podczas pomiarów zostały uwzględnione poprawki pomiarowe przekazane przez zleceniodawcę, umożliwiające uwzględnienie maksymalnych parametrów pracy instalacji zgodnie z pkt 7 załącznika do Rozporządzenia Ministra Klimatu z dnia 17 lutego 2020 r. w sprawie sposobów sprawdzania dotrzymania dopuszczalnych poziomów pól elektromagnetycznych w środowisku (Dz. U. 2020, poz. 258).

4. Zróżnicowanie dopuszczalne poziomy pól elektromagnetycznych.

Zakresy znajdują się w Dzienniku Ustaw z dnia 17 grudnia 2019 r. przedstawione są w tabeli nr 2 (Dz. U. z 2019r. poz. 2448).

| Parametr fizyczny | Składowa elektryczna E (V/m) | Składowa magnetyczna H (A/m) | Gęstość mocy S (W/m ²) |
|---|------------------------------|------------------------------|------------------------------------|
| Zakres Częstotliwości pola elektromagnetycznego | | | |
| od 400 MHz do 2000 MHz | $1,375 \times f^{0,5}$ | $0,0037 \times f^{0,5}$ | $f / 200$ |
| od 2 GHz do 300 GHz | 61 | 0,16 | 10 |

5. Charakterystyka źródeł PEM.

Zgodnie z informacją otrzymaną od klienta pomiary zostały wykonane przy ustawieniach pochylenia anten zgodnych z pkt. 13, ppkt 2 załącznika do rozporządzenia Ministra Klimatu z dnia 17 lutego 2020 roku.

Tabela 1. Anteny sektorowe - dane otrzymane od klienta

| | | | | | | | | | | |
|---------------------------------|---|---------------------------------------|-------|-------|---------------------------------------|-------|-------|---------------------------------------|-------|-------|
| Charakterystyka promieniowania | | kierunkowa | | | | | | | | |
| Rzeczywisty czas pracy [h/dobę] | | 24 | | | | | | | | |
| Rodzaj wytwarzanego pola | | stacjonarne | | | | | | | | |
| L p | Wyszczególnienie | sektor 1 | | | sektor 2 | | | sektor 3 | | |
| I | Nadajnik stacji bazowej: | | | | | | | | | |
| 1 | Typ / Producent | DBS / Huawei | | | | | | | | |
| 2 | Częstotliwość (pasmo) MHz | 2100 | 1800 | 900 | 2100 | 1800 | 900 | 2100 | 1800 | 900 |
| 3 | Maksymalna moc nadawana na sektor [dBm] | 49,03 | 49,03 | 44,77 | 49,03 | 49,03 | 44,77 | 49,03 | 49,03 | 44,77 |
| II | Obciążenie: | | | | | | | | | |
| 1 | Typ anteny | JayBeam 5363603/703 (part of antenna) | | | JayBeam 5363603/703 (part of antenna) | | | JayBeam 5363603/703 (part of antenna) | | |
| 2 | Producent anteny | JayBeam | | | JayBeam | | | JayBeam | | |
| 3 | Ilość anten | 1 | | | 1 | | | 1 | | |
| 4 | Azymut | 0 | | | 120 | | | 240 | | |
| 5 | Zakres kątów pochylenia anten [°] | 0-5 | | | 0-2 | | | 0-4 | | |
| 6 | Wysokość zainst. n.p.t. [m] | 20,00 | | | 20,00 | | | 20,00 | | |
| 7 | EIRP [W] | 5622 | | | 5622 | | | 5622 | | |

Tabela 2. Anteny radioliniowe - dane otrzymane od klienta

| Charakterystyka promieniowania | | | | kierunkowa | | | |
|---------------------------------|------------------|---------------------------|---------------------|-----------------|---------------------|------------|------------------------|
| Rzeczywisty czas pracy [h/dobę] | | | | 24 | | | |
| Rodzaj wytwarzanego pola | | | | stacjonarne | | | |
| Lp | Linia radiowa | | | Antena | | | |
| | typ/producent | częstotliwość pracy [GHz] | moc wyjściowa [dBm] | typ/producent | średnica anteny [m] | azymut [°] | wysokość zainstal. [m] |
| 1 | OPTIX RTN/HUAWEI | 80 | 18 | VHLP1-80/Andrew | 0,3 | 1 | 17,95 |
| 2 | OPTIX RTN/HUAWEI | 80 | 18 | VHLP2-80/Andrew | 0,6 | 35 | 17,05 |

6. Wyniki pomiarów.

Wyniki pomiarów pól elektromagnetycznych dla celów ochrony środowiska przedstawia poniższa tabela. Piony pomiarowe zostały przedstawione w zał. 2.

| Nr PP | Pole-E [V/m] | Pole-E *kE+U [V/m] | Pole-H [A/m] | Pole-H *kE+U [A/m] | Wys. pomiaru [m] | Opis pionu | Uwagi | WM _E | WM _H |
|-------|--------------|--------------------|--------------|--------------------|------------------|---|--|-----------------|-----------------|
| 1 | 0,8 | 1,78 | 0,002 | 0,005 | 1,1 | N:53°06'59,01" E:23°10'37,68" | otoczenie stacji bazowej - 50m wzdłuż gł. osi promieniowania - GKP | 0,046 | 0,045 |
| 2 | <0,8* | <1,78 | <0,002 | <0,005 | 0,3-2,0 | N:53°07'01,79" E:23°10'37,88" | otoczenie stacji bazowej - 140m wzdłuż gł. osi promieniowania - GKP | <0,046 | <0,045 |
| 3 | <0,8* | <1,78 | <0,002 | <0,005 | 0,3-2,0 | N:53°07'03,70" E:23°10'38,15" | otoczenie stacji bazowej - 200m wzdłuż gł. osi promieniowania - GKP | <0,046 | <0,045 |
| 4 | 0,8 | 1,78 | 0,002 | 0,005 | 1,0 | N:53°06'56,33" E:23°10'39,65" | otoczenie stacji bazowej - 50m wzdłuż gł. osi promieniowania - GKP | 0,046 | 0,045 |
| 5 | <0,8* | <1,78 | <0,002 | <0,005 | 0,3-2,0 | N:53°06'56,50" E:23°10'34,85" | otoczenie stacji bazowej - 50m wzdłuż gł. osi promieniowania - GKP | <0,046 | <0,045 |
| 6 | <0,8* | <1,78 | <0,002 | <0,005 | 0,3-2,0 | N:53°06'56,22" E:23°10'33,97" | otoczenie stacji bazowej - 70m wzdłuż gł. osi promieniowania - GKP | <0,046 | <0,045 |
| 7 | 0,9 | 2,01 | 0,002 | 0,005 | 1,1 | N:53°06'58,37" E:23°10'38,23" | otoczenie stacji bazowej - 50m wzdłuż gł. osi promieniowania - GKP | 0,052 | 0,051 |
| 8 | <0,8* | <1,78 | <0,002 | <0,005 | 0,3-2,0 | N:53°06'56,84" E:23°10'41,75" | otoczenie stacji bazowej - PKP | <0,046 | <0,045 |
| 9 | <0,8* | <1,78 | <0,002 | <0,005 | 0,3-2,0 | N:53°06'55,44" E:23°10'39,91" | otoczenie stacji bazowej - PKP | <0,046 | <0,045 |
| 10 | <0,8* | <1,78 | <0,002 | <0,005 | 0,3-2,0 | N:53°06'56,69" E:23°10'37,12" | otoczenie stacji bazowej - PKP | <0,046 | <0,045 |
| 11 | <0,8* | <1,78 | <0,002 | <0,005 | 0,3-2,0 | N:53°06'57,06" E:23°10'32,40" | otoczenie stacji bazowej - PKP | <0,046 | <0,045 |
| 12 | <0,8* | <1,78 | <0,002 | <0,005 | 0,3-2,0 | N:53°06'57,09" E:23°10'36,65" | otoczenie stacji bazowej - PKP | <0,046 | <0,045 |
| 13 | <0,8* | <1,78 | <0,002 | <0,005 | 0,3-2,0 | N:53°06'54,93" E:23°10'30,03" | otoczenie stacji bazowej - 160m wzdłuż gł. osi promieniowania - GKP | <0,046 | <0,045 |
| A | 0,8 | 1,78 | 0,002 | 0,005 | 1,1 | Brak adresu, pomiar przed wejściem - DPP | | 0,046 | 0,045 |
| B | 1,0 | 2,23 | 0,003 | 0,006 | 1,0 | Brak adresu, pomiar przed budynkiem - DPP | | 0,057 | 0,056 |
| C | <0,8* | <1,78 | <0,002 | <0,005 | 0,3-2,0 | Zwierzyniecka 39, pomiar przed bramą - DPP | | <0,046 | <0,045 |
| D | <0,8* | <1,78 | <0,002 | <0,005 | 0,3-2,0 | Zwierzyniecka 37, pomiar przed furtką - DPP | | <0,046 | <0,045 |
| E | <0,8* | <1,78 | <0,002 | <0,005 | 0,3-2,0 | Zwierzyniecka 37a, pomiar przed bramą - DPP | | <0,046 | <0,045 |
| F | <0,8* | <1,78 | <0,002 | <0,005 | 0,3-2,0 | Zwierzyniecka 82, pomiar przed bramą - DPP | | <0,046 | <0,045 |
| G | 0,8 | 1,78 | 0,002 | 0,005 | 1,1 | Zwierzyniecka 82, pomiar przed budynkiem - DPP | | 0,046 | 0,045 |
| H | 0,9 | 2,01 | 0,002 | 0,005 | 1,0 | Zwierzyniecka 84, pomiar od str. instalacji - DPP | | 0,052 | 0,051 |
| I | 0,8 | 1,78 | 0,002 | 0,005 | 1,1 | Mickiewicza 92, pomiar przed budynkiem - DPP | | 0,046 | 0,045 |
| J | <0,8* | <1,78 | <0,002 | <0,005 | 0,3-2,0 | Prusa 1, pomiar od str. instalacji - DPP | | <0,046 | <0,045 |
| K | <0,8* | <1,78 | <0,002 | <0,005 | 0,3-2,0 | Księżycowa 4, pomiar przed bramą - DPP | | <0,046 | <0,045 |
| L | <0,8* | <1,78 | <0,002 | <0,005 | 0,3-2,0 | Księżycowa 6, pomiar przed bramą - DPP | | <0,046 | <0,045 |
| M | <0,8* | <1,78 | <0,002 | <0,005 | 0,3-2,0 | Prusa 3, pomiar przed furtką - DPP | | <0,046 | <0,045 |

„Bez pisemnej zgody Laboratorium niniejsze sprawozdanie nie może być powielane inaczej, jak tylko w całości. Ponadto wyniki dotyczą tylko badanych obiektów przywołanych w niniejszym sprawozdaniu z badań”

| | | | | | | | | |
|----|-------|-------|--------|--------|---------|---|--------|--------|
| N | <0,8* | <1,78 | <0,002 | <0,005 | 0,3-2,0 | Prusa 5, pomiar przed bramą - DPP | <0,046 | <0,045 |
| O | <0,8* | <1,78 | <0,002 | <0,005 | 0,3-2,0 | Księżycowa 1, pomiar przed furtką - DPP | <0,046 | <0,045 |
| P | <0,8* | <1,78 | <0,002 | <0,005 | 0,3-2,0 | Urocza 2, pomiar przed bramą - DPP | <0,046 | <0,045 |
| R | <0,8* | <1,78 | <0,002 | <0,005 | 0,3-2,0 | Urocza 4, pomiar przed bramą - DPP | <0,046 | <0,045 |
| S | <0,8* | <1,78 | <0,002 | <0,005 | 0,3-2,0 | Mickiewicza 92/8, pomiar przed furtką - DPP | <0,046 | <0,045 |
| T | <0,8* | <1,78 | <0,002 | <0,005 | 0,3-2,0 | Mickiewicza 94, pomiar przed bramą - DPP | <0,046 | <0,045 |
| U | 0,8 | 1,78 | 0,002 | 0,005 | 1,1 | Brak adresu, pomiar przed bramą - DPP | 0,046 | 0,045 |
| V | <0,8* | <1,78 | <0,002 | <0,005 | 0,3-2,0 | Brak adresu, pomiar przed bramą - DPP | <0,046 | <0,045 |
| W | <0,8* | <1,78 | <0,002 | <0,005 | 0,3-2,0 | Brańska 2a, pomiar przed bramą - DPP | <0,046 | <0,045 |
| X | <0,8* | <1,78 | <0,002 | <0,005 | 0,3-2,0 | Brańska 4a, pomiar przed bramą - DPP | <0,046 | <0,045 |
| Y | <0,8* | <1,78 | <0,002 | <0,005 | 0,3-2,0 | Ciałkowskiego 13/2, pomiar przed furtką - DPP | <0,046 | <0,045 |
| Z | <0,8* | <1,78 | <0,002 | <0,005 | 0,3-2,0 | Ciałkowskiego 18, pomiar przed furtką - DPP | <0,046 | <0,045 |
| A1 | <0,8* | <1,78 | <0,002 | <0,005 | 0,3-2,0 | Mickiewicza 83/16, pomiar przed budynkiem - DPP | <0,046 | <0,045 |
| B1 | <0,8* | <1,78 | <0,002 | <0,005 | 0,3-2,0 | Pod Krzywą 1, pomiar przed furtką - DPP | <0,046 | <0,045 |
| C1 | <0,8* | <1,78 | <0,002 | <0,005 | 0,3-2,0 | Pod Krzywą 2, pomiar przed bramą - DPP | <0,046 | <0,045 |
| D1 | <0,8* | <1,78 | <0,002 | <0,005 | 0,3-2,0 | Pod Krzywą 3, pomiar przed bramą - DPP | <0,046 | <0,045 |
| E1 | 0,9 | 2,01 | 0,002 | 0,005 | 0,9 | Mickiewicza 81, pomiar przed bramą - DPP | 0,052 | 0,051 |
| F1 | 0,8 | 1,78 | 0,002 | 0,005 | 1,1 | Mickiewicza 79, pomiar przed furtką - DPP | 0,046 | 0,045 |
| G1 | <0,8* | <1,78 | <0,002 | <0,005 | 0,3-2,0 | Mickiewicza 79, pomiar przed furtką - DPP | <0,046 | <0,045 |
| H1 | <0,8* | <1,78 | <0,002 | <0,005 | 0,3-2,0 | Mickiewicza 71ab, pomiar przed wejściem - DPP | <0,046 | <0,045 |
| I1 | <0,8* | <1,78 | <0,002 | <0,005 | 0,3-2,0 | Saska 6, pomiar przed bramą - DPP | <0,046 | <0,045 |
| J1 | <0,8* | <1,78 | <0,002 | <0,005 | 0,3-2,0 | Gliwicka 13e, pomiar przed furtką - DPP | <0,046 | <0,045 |
| K1 | <0,8* | <1,78 | <0,002 | <0,005 | 0,3-2,0 | Mickiewicza 81/1, pomiar przed bramą - DPP | <0,046 | <0,045 |
| L1 | <0,8* | <1,78 | <0,002 | <0,005 | 0,3-2,0 | Mickiewicza 86, pomiar przed bramą - DPP | <0,046 | <0,045 |

* poniżej czułości zestawu pomiarowego

GKP - główne kierunki pomiarowe

PKP - pomocnicze kierunki pomiarowe

DPP- dodatkowe punkty pomiarowe

PP – pion pomiarowy

U - niepewność pomiarowa rozszerzona, przy poziomie ufności 95%, z uwzględnieniem współczynnika rozszerzenia $k=2$

k_E – poprawka pomiarowa badanej instalacji radiokomunikacyjnej podana przez operatora ($k_E=1,4$), poprawka pomiarowa w przypadku oddziaływania innych instalacji radiokomunikacyjnych na badany obszar ($k_E=2,0$)

WM_E - wartość wskaźnikowa poziomu emisji pól elektromagnetycznych dla miejsc dostępnych dla ludności dla składowej elektrycznej pola
 WM_H - wartość wskaźnikowa poziomu emisji pól elektromagnetycznych dla miejsc dostępnych dla ludności dla składowej magnetycznej pola.

Przyjęto najniższą dopuszczalną wartość składowej elektrycznej pola dla objętego pomiarami zakresu częstotliwości $\min(ME_{gr}) = 38,89 \text{ V/m}$ oraz składowej magnetycznej $\min(MH_{gr}) = 0,105 \text{ A/m}$.

7. Stwierdzenie zgodności

Na podstawie wytycznych podanych w Rozporządzeniu Ministra Zdrowia z dnia 17 grudnia 2019 r. w sprawie dopuszczalnych poziomów pól elektromagnetycznych w środowisku (Dz.U. 2019 poz. 2448) oraz sposobów sprawdzania dotrzymania tych poziomów zgodnie z Rozporządzeniem Ministra Klimatu z dnia 17 lutego 2020 r. w sprawie sposobów sprawdzania dotrzymania dopuszczalnych poziomów pól elektromagnetycznych w środowisku (Dz.U. 2020 poz. 258) dotyczących źródła wymagań, które muszą być spełnione (załącznik do rozporządzenia Ministra Klimatu z dnia 17 lutego 2020 r. (poz. 258)), w oparciu o zasadę podejmowania decyzji zgodną z pkt 26 załącznika do rozporządzenia Ministra Klimatu z dnia 17 lutego 2020 r. (poz. 258), na podstawie wyników pomiarów pól elektromagnetycznych wykonanych w dniu 03.11.2020 stwierdzono, iż w miejscach dostępnych dla ludności, dopuszczalne poziomy pól elektromagnetycznych w środowisku, określone w przepisach wydanych na podstawie art. 122 ust. 1 ustawy z dnia 27 kwietnia 2001 r. – Prawo ochrony środowiska, uznaje się za dotrzymane w obszarze pomiarowym, w którym w wyniku zastosowania sposobu sprawdzenia dotrzymania dopuszczalnych poziomów pól

elektromagnetycznych w środowisku udokumentowano, że żadna z wartości wskaźnikowych nie przekracza wartości 1.

8. Oświadczenie.

Wyniki badania odnoszą się wyłącznie do badanego obiektu.

Bez pisemnej zgody sprawozdanie nie może być powielane inaczej, jak tylko w całości.

Uwagi i zastrzeżenia przyjmowane są w formie pisemnej w ciągu 14 dni od daty otrzymania sprawozdania.

9. Spis załączników.

Załącznik 1. Lokalizacja obiektu.

Załącznik 2. Widok pionów pomiarowych

Załącznik 3. Załączniki graficzne

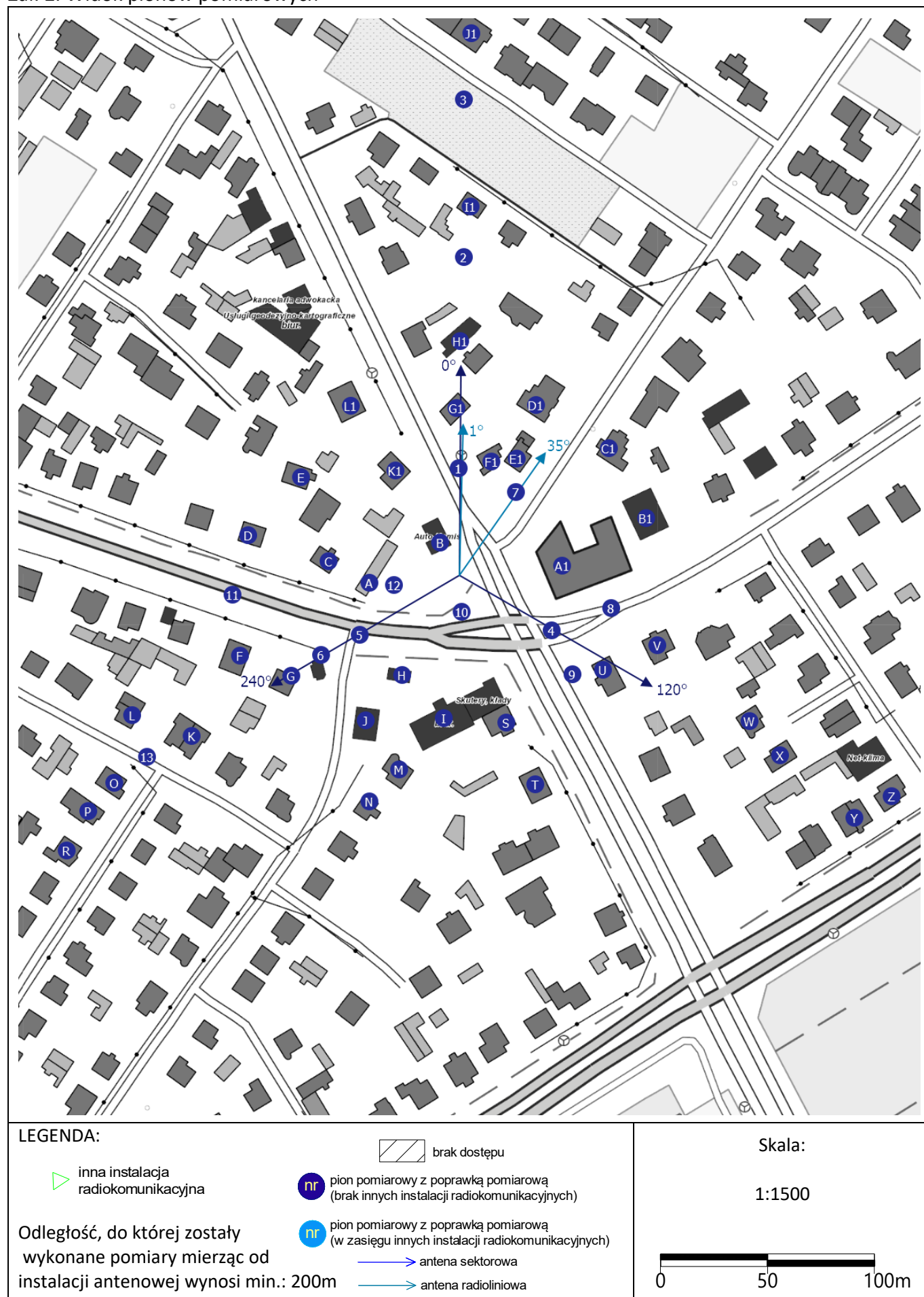
Koniec sprawozdania

Załącznik 1. Lokalizacja obiektu



| Współrzędne geograficzne | |
|--------------------------|---------------|
| długość: | 53°06'57.22"N |
| szerokość: | 23°10'37.31"E |

Załącznik 2. Widok pionów pomiarowych



Załącz. 3. Załączniki graficzne.

